



君芯科技  
CAS-IGBT

KWGFP25R12NS3

1200V 25A PIM 模块

## 特征

采用最新沟槽栅场截止型IGBT芯片

集成NTC温度传感器

高可靠性及热稳定性，良好的参数一致性

100% RBSOA测试( $2*I_C$ )

低通态损耗( $V_{CE}=2.0V$ )

低关断损耗( $E_{off}=1.22mJ$ )

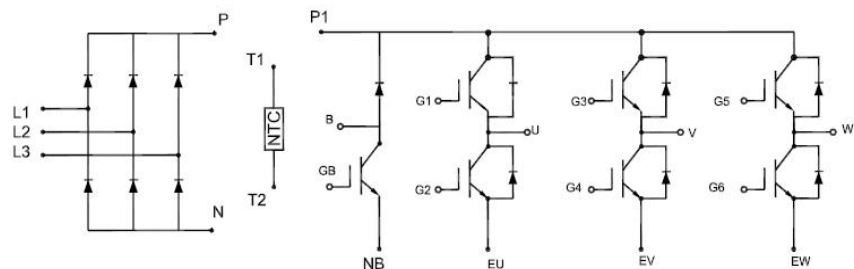
高短路耐量(>10us)



## 应用领域

电机传动

伺服驱动器 等



## IGBT(逆变器)最大额定值 (未特殊说明时, $T_j=25^\circ C$ )

参数	符号	条件	额定值	单位
集电极-发射极耐压	$V_{CES}$		1200	V
栅极-发射极耐压	$V_{GES}$		$\pm 20$	
集电极电流	$I_C$	$T_c=25^\circ C$ $T_c=100^\circ C$	50 25	A
集电极重复峰值电流	$I_{CRM}$	$t_p=1ms$	50	A
耗散功率	$P_D$	$T_c=25^\circ C, T_{vj\max}=150^\circ C$	156	W
短路承受时间	$t_{SC}$	$V_{GE}=15V, V_{CC}=600V$ $T_j=150^\circ C$	>10	$\mu s$
工作结温	$T_j$		-40~150	$^\circ C$

## IGBT(逆变器)电学特性 (未特殊说明时, $T_j=25^\circ\text{C}$ )

参数	符号	条件	最小值	典型值	最大值	单位
<b>静态特性</b>						
集电极-发射极击穿电压	$V_{(\text{BR})\text{CES}}$	$V_{\text{GE}}=0\text{V}, I_c=1\text{mA}$	1200	-	-	V
导通压降	$V_{\text{CE}(\text{sat})}$	$V_{\text{GE}}=15\text{V}, I_c=25\text{A}$ $T_j=25^\circ\text{C}$ $T_j=150^\circ\text{C}$	-	2.0	-	V
阈值电压	$V_{\text{GE}(\text{th})}$	$I_c=1\text{mA}, V_{\text{CE}}=V_{\text{GE}}$	5.2	5.9	6.7	V
集电极-发射极漏电流	$I_{\text{CES}}$	$V_{\text{CE}}=1200\text{V}, V_{\text{GE}}=0\text{V}$	-	-	2.0	mA
栅极-发射极漏电流	$I_{\text{GES}}$	$V_{\text{CE}}=0\text{V}, V_{\text{GE}}=20\text{V}$	-	-	500	nA
输入电容	$C_{\text{iss}}$	$V_{\text{CE}}=25\text{V}$ $V_{\text{GE}}=0\text{V}$ $f=1\text{MHz}$	-	1795	-	pF
输出电容	$C_{\text{oss}}$		-	125	-	
反馈电容	$C_{\text{rss}}$		-	80	-	
栅电荷	$Q_g$	$V_{\text{CC}}=900\text{V}, I_c=25\text{A}, V_{\text{GE}}=15\text{V}$	-	100	-	nC
<b>开关特性</b> (感性负载)						
开通延迟时间	$t_{d(\text{on})}$	$T_j=25^\circ\text{C}$ $V_{\text{CC}}=600\text{V}$ $I_c=25\text{A}$ $V_{\text{GE}}=\pm 15\text{V}$ $R_g=47\Omega$	-	70	-	ns
上升时间	$t_r$		-	103	-	
关断延迟时间	$t_{d(\text{off})}$		-	110	-	
下降时间	$t_f$		-	226	-	
开通损耗	$E_{\text{on}}$		-	2.85	-	
关断损耗	$E_{\text{off}}$		-	1.22	-	
开关损耗	$E_{ts}$		-	4.07	-	
开通延迟时间	$t_{d(\text{on})}$	$T_j=150^\circ\text{C}$ $V_{\text{CC}}=600\text{V}$ $I_c=25\text{A}$ $V_{\text{GE}}=\pm 15\text{V}$ $R_g=47\Omega$	-	67	-	ns
上升时间	$t_r$		-	105	-	
关断延迟时间	$t_{d(\text{off})}$		-	255	-	
下降时间	$t_f$		-	237	-	
开通损耗	$E_{\text{on}}$		-	3.00	-	
关断损耗	$E_{\text{off}}$		-	1.67	-	
开关损耗	$E_{ts}$		-	4.67	-	
集电极短路电流	$I_{\text{SC}}$	$V_{\text{GE}}=15\text{V}, V_{\text{CC}}=600\text{V}$ $T_j=150^\circ\text{C}$	-	93	-	A
壳到结的热阻	$R_{\text{thJC}}$	每个IGBT	-	0.80	-	K/W

## 二极管(逆变器)最大额定值 (未特殊说明时, $T_j=25^\circ\text{C}$ )

参数	符号	条件	额定值	单位
反向重复峰值电压	$V_{RRM}$		1200	V
连续正向直流电流	$I_F$	$T_C=25^\circ\text{C}$ $T_C=100^\circ\text{C}$	50 25	A
正向重复峰值电流	$I_{FRM}$	$t_p=1\text{ms}$	50	A
电流时间积分	$I^2 t$	$t_p=10\text{ms}, T_C=100^\circ\text{C}$	-	$\text{A}^2\text{s}$
工作结温	$T_j$		-40~150	$^\circ\text{C}$

## 二极管(逆变器)电气特性 (未特殊说明时, $T_j=25^\circ\text{C}$ )

参数	符号	条件	最小值	典型值	最大值	单位
正向压降	$V_F$	$I_F=25\text{A}$ $T_j=25^\circ\text{C}$ $T_j=150^\circ\text{C}$	- -	1.90 1.85	- -	V
反向恢复时间	$t_{rr}$	$T_j=25^\circ\text{C}$	-	135	-	ns
反向恢复电荷	$Q_{rr}$	$V_R=600\text{V}, I_F=25\text{A}$	-	1.6	-	$\mu\text{C}$
反向恢复峰值电流	$I_{rrm}$	$-di/dt=600\text{A}/\text{us}$	-	24.0	-	A
反向恢复时间	$t_{rr}$	$T_j=150^\circ\text{C}$	-	275	-	ns
反向恢复电荷	$Q_{rr}$	$V_R=600\text{V}, I_F=25\text{A}$	-	3.6	-	$\mu\text{C}$
反向恢复峰值电流	$I_{rrm}$	$-di/dt=600\text{A}/\text{us}$	-	32.0	-	A
壳到结的热阻	$R_{thJCD}$	每个二极管	-	1.2	-	K/W

## 二极管(整流器)最大额定值 (未特殊说明时, $T_j=25^\circ\text{C}$ )

参数	符号	条件	额定值	单位
反向重复峰值电压	$V_{RRM}$	$T_j=25^\circ\text{C}, I_R=0.1\text{mA}$	1600	V
正向平均电流	$I_{F(AV)}$		25	A
正向浪涌电流	$I_{FSM}$	$t_p=10\text{ms}, T_C=100^\circ\text{C}$	300	A
电流时间积分	$I^2 t$	$t_p=10\text{ms}, T_C=100^\circ\text{C}$	450	$\text{A}^2\text{s}$
工作结温	$T_j$		-40~150	$^\circ\text{C}$

## 二极管(整流器)电气特性 (未特殊说明时, $T_j=25^\circ\text{C}$ )

参数	符号	条件	最小值	典型值	最大值	单位
反向重复峰值电压	$V_{RRM}$	$I_R=0.1\text{mA}$	1600	-	-	V
正向压降	$V_F$	$I_F=25\text{A}$ $T_j=25^\circ\text{C}$ $T_j=150^\circ\text{C}$	- -	1 -	-	V
反向漏电流	$I_R$	$V_R=1600\text{V}$ $T_j=25^\circ\text{C}$	-	-	1	mA
壳到结的热阻	$R_{thJCD}$	每个二极管	-	1.04	-	K/W

**IGBT(制动-斩波器)最大额定值** (未特殊说明时,  $T_j=25^\circ\text{C}$ )

参数	符号	条件	额定值	单位
集电极-发射极耐压	$V_{CES}$		1200	V
栅极-发射极耐压	$V_{GES}$		$\pm 20$	V
集电极电流	$I_C$	$T_c=25^\circ\text{C}$ $T_c=100^\circ\text{C}$	30 15	A
集电极重复峰值电流	$I_{CRM}$	$t_p=1\text{ms}$	30	A
耗散功率	$P_D$	$T_c=25^\circ\text{C}, T_{vj\max}=150^\circ\text{C}$	125	W
短路承受时间	$t_{SC}$	$T_j=150^\circ\text{C}, V_{GE}=15\text{V}, V_{CE}=600\text{V}$	>10	$\mu\text{s}$
工作结温	$T_j$		-40~150	$^\circ\text{C}$

**IGBT(制动-斩波器)电学特性** (未特殊说明时,  $T_j=25^\circ\text{C}$ )

参数	符号	条件	最小值	典型值	最大值	单位
<b>静态特性</b>						
集电极-发射极击穿	$V_{(BR)CES}$	$V_{GE}=0\text{V}, I_C=1\text{mA}$	1200	-	-	V
导通压降	$V_{CE(sat)}$	$V_{GE}=15\text{V}, I_C=15\text{A}$ $T_j=25^\circ\text{C}$ $T_j=150^\circ\text{C}$	-	1.85	-	
阈值电压	$V_{GE(th)}$	$I_C=0.6\text{mA}, V_{CE}=V_{GE}$	4.7	5.8	6.7	
集电极-发射极漏电流	$I_{CES}$	$V_{CE}=1200\text{V}, V_{GE}=0\text{V}$	-	-	2.0	mA
栅极-发射极漏电流	$I_{GES}$	$V_{CE}=0\text{V}, V_{GE}=20\text{V}$	-	-	500	nA
输入电容	$C_{iss}$	$V_{CE}=25\text{V}$ $V_{GE}=0\text{V}$ $f=1\text{MHz}$	-	1120	-	pF
输出电容	$C_{oss}$		-	91	-	
反馈电容	$C_{rss}$		-	51	-	
栅电荷	$Q_G$	$V_{CC}=900\text{V}, I_C=15\text{A}, V_{GE}=15\text{V}$	-	71	-	nC
<b>开关特性</b> (感性负载)						
开通延迟时间	$t_{d(on)}$	$T_j=25^\circ\text{C}$ $V_{CC}=600\text{V}$ $I_C=15\text{A}$ $V_{GE}=\pm 15\text{V}$ $R_G=20\Omega$	-	14	-	ns
上升时间	$t_r$		-	41	-	
关断延迟时间	$t_{d(off)}$		-	135	-	
下降时间	$t_f$		-	121	-	
开通损耗	$E_{on}$		-	0.87	-	mJ
关断损耗	$E_{off}$		-	0.71	-	
开关损耗	$E_{ts}$		-	1.58	-	

参数	符号	条件	最小值	典型值	最大值	单位
开通延迟时间	$t_{d(on)}$	$T_j=150^\circ\text{C}$ $V_{CC}=600\text{V}$ $I_C=15\text{A}$ $V_{GE}=\pm 15\text{V}$ $R_G=20\Omega$	-	13	-	ns
上升时间	$t_r$		-	41	-	
关断延迟时间	$t_{d(off)}$		-	177	-	
下降时间	$t_f$		-	183	-	
开通损耗	$E_{on}$		-	0.92	-	mJ
关断损耗	$E_{off}$		-	1.01	-	
开关损耗	$E_{ts}$		-	1.93	-	
集电极短路电流	$I_{SC}$	$V_{GE}=15\text{V}, V_{CC}=600\text{V},$ $T_j=150^\circ\text{C}$	-	65	-	A
壳到结的热阻	$R_{thJC}$	每个IGBT	-	1.0	-	K/W

## 二极管(制动-斩波器)最大额定值 (未特殊说明时, $T_j=25^\circ\text{C}$ )

参数	符号	条件	额定值	单位
反向重复峰值电压	$V_{RRM}$		1200	V
连续正向直流电流	$I_F$	$T_c=25^\circ\text{C}$ $T_c=100^\circ\text{C}$	30 15	A
正向重复峰值电流	$I_{FRM}$	$t_p=1\text{ms}$	30	A
电流时间积分	$I^2 t$	$t_p=10\text{ms}, T_c=100^\circ\text{C}$	21	$\text{A}^2\text{s}$
工作结温	$T_j$		-40~150	$^\circ\text{C}$

## 二极管(制动-斩波器)电气特性 (未特殊说明时, $T_j=25^\circ\text{C}$ )

参数	符号	条件	最小值	典型值	最大值	单位
正向压降	$V_F$	$I_F=15\text{A}$ $T_j=25^\circ\text{C}$ $T_j=150^\circ\text{C}$	- -	1.85 1.75	-	V
反向恢复时间	$t_{rr}$	$T_j=25^\circ\text{C}$	-	130	-	ns
反向恢复电荷	$Q_{rr}$	$V_R=600\text{V}, I_F=15\text{A}$	-	1.07	-	$\mu\text{C}$
反向恢复峰值电流	$I_{rrm}$	$-di/dt=600\text{A/us}$	-	18.0	-	A
反向恢复时间	$t_{rr}$	$T_j=150^\circ\text{C}$	-	210	-	ns
反向恢复电荷	$Q_{rr}$	$V_R=600\text{V}, I_F=15\text{A}$	-	2.15	-	$\mu\text{C}$
反向恢复峰值电流	$I_{rrm}$	$-di/dt=600\text{A/us}$	-	22.0	-	A
壳到结的热阻	$R_{thJCD}$	每个二极管	-	1.6	-	K/W

## 负温度系数热敏电阻

参数	符号	条件	最小值	典型值	最大值	单位
额定电阻值	$R_{25}$	$T_c=25^\circ C$	-	5	-	$k\Omega$
R100偏差	$\Delta R/R$	$T_c=25^\circ C, R_{100}=481\Omega$	tbd	-	tbd	%
耗散功率	$P_{25}$	$T_c=25^\circ C$	-	tbd	-	$mW$
B-值	$B_{25/50}$	$R_2=R_{25}\exp[B_{25/50}(1/T_2 - 1/(298.15K))]$	-	3380	-	K
B-值	$B_{25/80}$	$R_2=R_{25}\exp[B_{25/80}(1/T_2 - 1/(298.15K))]$	-	3440	-	K

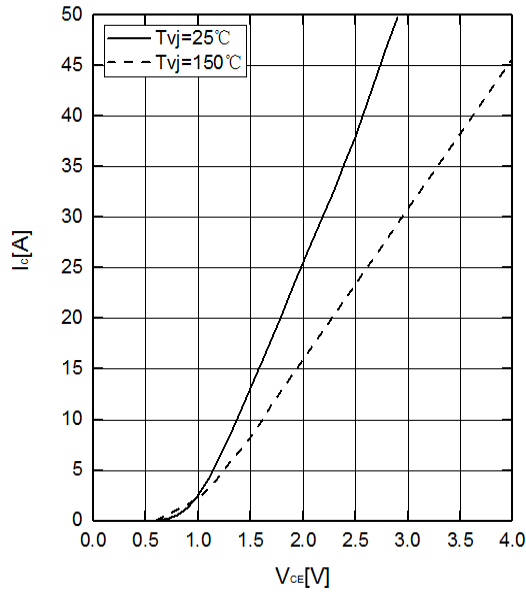
## 模块

参数	符号	条件	最小值	典型值	最大值	单位
绝缘测试电压	$V_{ISOL}$	$f = 50Hz, 1minute$	2500	-	-	V
最大结温	$T_{vj \max}$		-	-	150	$^\circ C$
工作结温	$T_j$		-40	-	150	$^\circ C$
外壳-散热器热阻	$R_{eCS}$	每个模块	-	0.03	-	K/W
储存温度	$T_{stg}$		-40	-	125	$^\circ C$
模块安装扭距	$M$	Mounting Screw:M4	1.3	-	1.7	N·m
重量	$G$		-	44	-	g

输出特性 IGBT, 逆变器 (典型)

output characteristic IGBT,Inverter (typical)

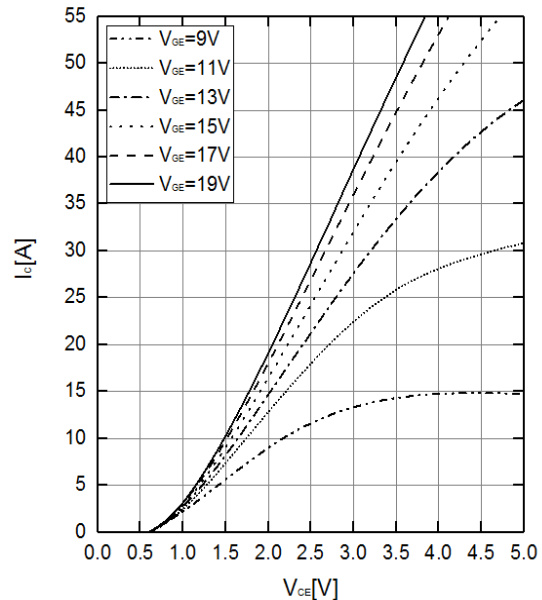
$I_c = f(V_{CE})$ ,  $V_{GE} = 15 V$



输出特性 IGBT, 逆变器 (典型)

output characteristic IGBT,Inverter (typical)

$I_c = f(V_{CE})$ ,  $T_j = 150^\circ C$



传输特性 IGBT, 逆变器 (典型)

transfer characteristic IGBT,Inverter(typical)

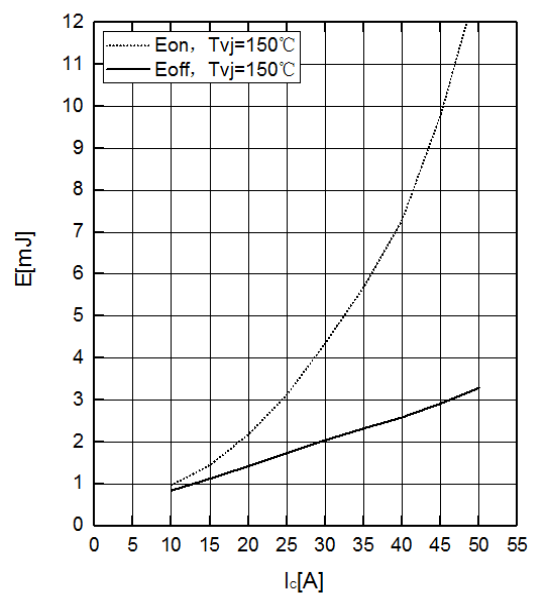
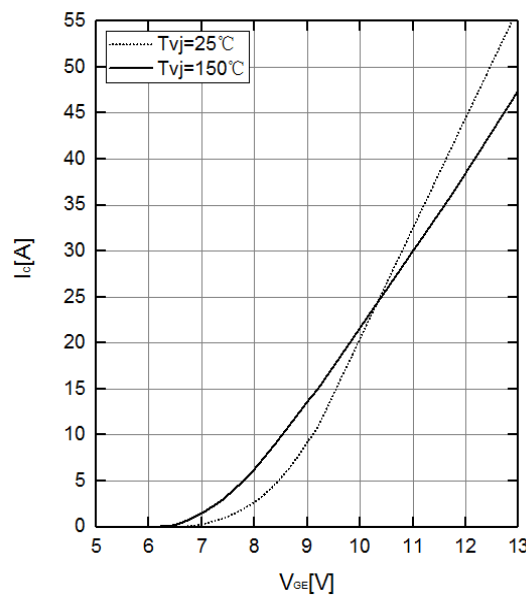
$I_c = f(V_{GE})$ ,  $V_{CE} = 20 V$

开关损耗 IGBT, 逆变器 (典型)

switching losses IGBT,Inverter (typical)

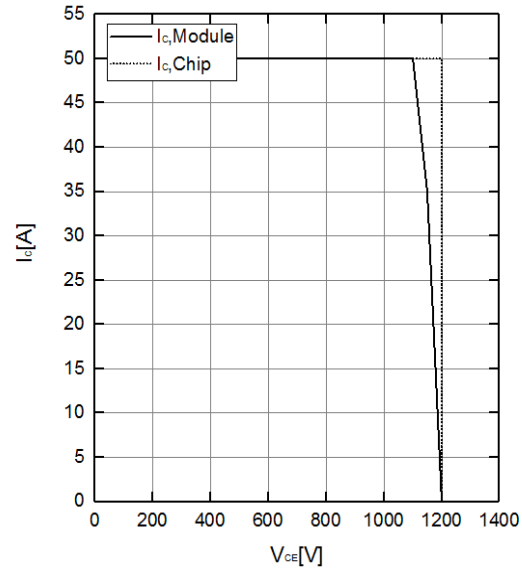
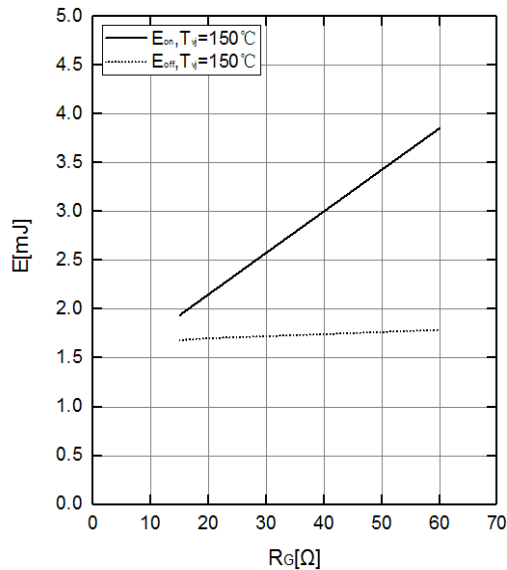
$E_{on} = f(I_c)$ ,  $E_{off} = f(I_c)$

$V_{GE} = \pm 15 V$ ,  $R_{Gon} = 47 \Omega$ ,  $R_{Goff} = 47 \Omega$ ,  $V_{CE} = 600 V$



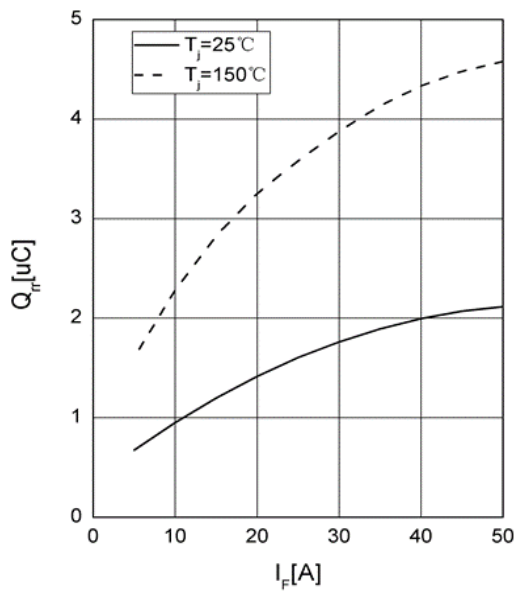
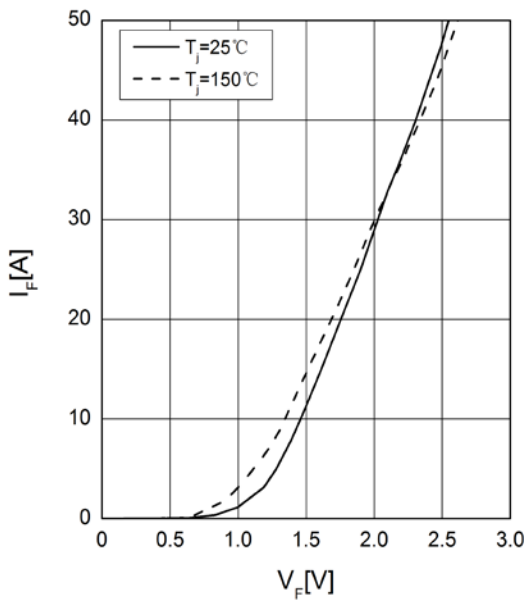
开关损耗 IGBT, 逆变器 (典型)  
**switching losses IGBT,Inverter (typical)**  
 $E_{on} = f(R_G)$ ,  $E_{off} = f(R_G)$   
 $V_{GE} = \pm 15 V$ ,  $I_C = 25 A$ ,  $V_{CE} = 600 V$

反偏安全工作区 IGBT, 逆变器 (RBSOA)  
**reverse bias safe operating area IGBT,Inverter**  
 $I_C = f(V_{CE})$   
 $V_{GE} = \pm 15 V$ ,  $R_{Goff} = 47 \Omega$ ,  $T_j = 150^\circ C$

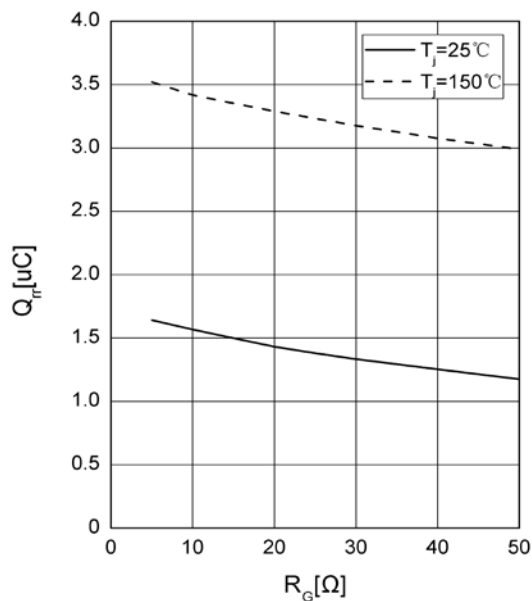


正向偏压特性 二极管, 逆变器 (典型)  
**forward characteristic of Diode, Inverter (typical)**  
 $I_F = f(V_F)$

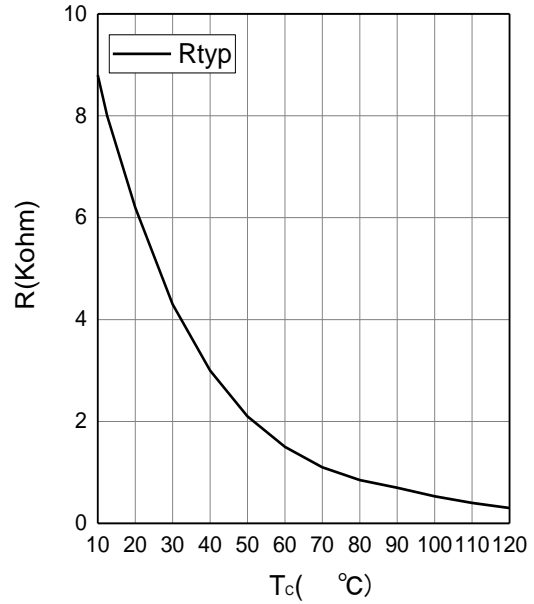
恢复电荷 二极管, 逆变器 (典型)  
**recovered charge of Diode, Inverter (typical)**  
 $Q_{rr} = f(I_F)$

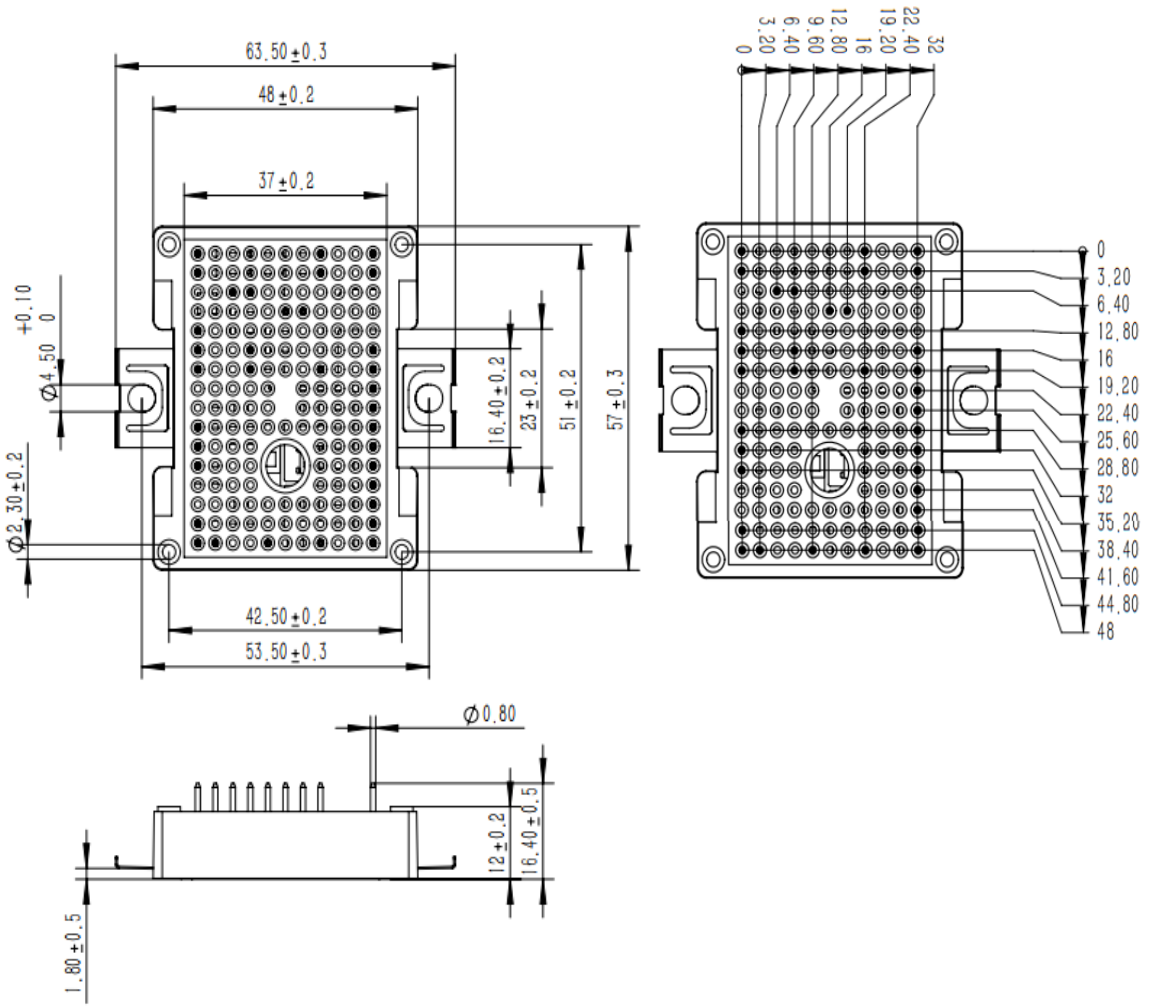


恢复电荷 二极管,逆变器 (典型)  
**recovered charge of Diode, Inverter (typical)**  
 $Q_{rr} = f(R_G)$ ,  $I_F = 25A$ ,  $V_{CE} = 600V$

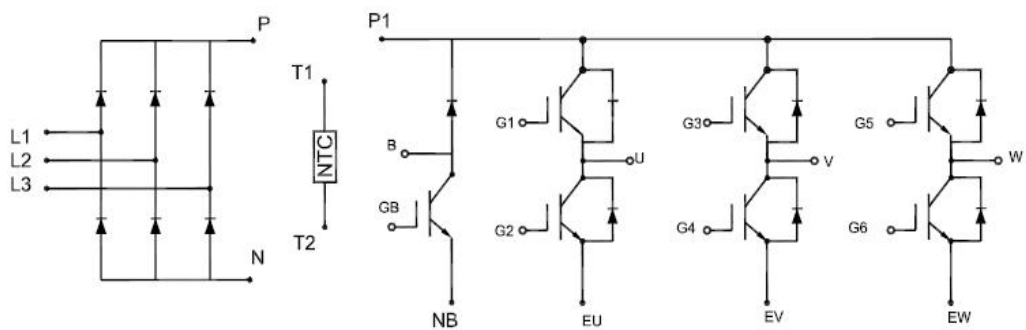


负温度系数热敏电阻 温度特性  
**NTC temperature characteristic (typical)**  
 $R = f(T)$





## 电路示意图



# X-ON Electronics

Largest Supplier of Electrical and Electronic Components

***Click to view similar products for IGBT Transistors category:***

***Click to view products by JUNSHINE manufacturer:***

Other Similar products are found below :

[748152A](#) [FGH60T65SHD\\_F155](#) [APT100GT60B2RG](#) [APT13GP120BG](#) [APT20GN60BG](#) [APT20GT60BRDQ1G](#) [APT25GN120B2DQ2G](#)  
[APT35GA90BD15](#) [APT36GA60BD15](#) [APT40GP60B2DQ2G](#) [APT40GP90B2DQ2G](#) [APT50GN120B2G](#) [APT50GT60BRG](#)  
[APT64GA90B2D30](#) [APT70GR120J](#) [NGTB10N60FG](#) [NGTB30N60L2WG](#) [NGTG25N120FL2WG](#) [IGP30N60H3XKSA1](#) [STGB15H60DF](#)  
[STGFW20V60DF](#) [STGFW30V60DF](#) [STGFW40V60F](#) [STGWA25H120DF2](#) [FGB3236\\_F085](#) [APT25GN120BG](#) [APT25GR120S](#)  
[APT30GN60BDQ2G](#) [APT30GN60BG](#) [APT30GP60BG](#) [APT30GS60BRDQ2G](#) [APT30N60BC6](#) [APT35GP120JDQ2](#) [APT36GA60B](#)  
[APT45GR65B2DU30](#) [APT50GP60B2DQ2G](#) [APT68GA60B](#) [APT70GR65B](#) [APT70GR65B2SCD30](#) [GT50JR22\(STA1ES\)](#) [TIG058E8-TL-H](#)  
[IDW40E65D2](#) [SGB15N120ATMA1](#) [NGTB50N60L2WG](#) [STGB10H60DF](#) [STGB20V60F](#) [STGB40V60F](#) [STGFW80V60F](#)  
[IGW40N120H3FKSA1](#) [RJH60D7BDPQ-E0#T2](#)